

I-190 けた橋の曲げねじり振動について

名古屋工大 正員 中村 卓次

(目的)

非対称断面のけたが、動的外力を受けて場合の、曲げねじり連成振動について、動的性状を数値計算によって考察するものである。

(考え方)

一般に、 x, y 軸について非対称断面の場合、

外力として、せん断中心軸に沿って分布する、
 $g_x(z, t), g_y(z, t), p(z, t), m_z(z, t)$,
 を考へる。

せん断中心 S の主軸方向の変位、 u, v .

斜軸方向の変位、 w ,

せん断中心 S の座標、 c_x, c_y . そして,

$$\left. \begin{aligned} EI_x \frac{\partial^2 u}{\partial z^2} + \frac{A\Gamma}{g} \left(\frac{\partial^2 u}{\partial z^2} + c_y \frac{\partial^2 \varphi}{\partial z^2} \right) &= g_x(z, t) + \frac{I_y \Gamma}{g} \frac{\partial^2 u}{\partial z^2 \partial x^2} \\ EI_x \frac{\partial^2 v}{\partial z^2} + \frac{A\Gamma}{g} \left(\frac{\partial^2 v}{\partial z^2} - c_x \frac{\partial^2 \varphi}{\partial z^2} \right) &= g_y(z, t) + \frac{I_x \Gamma}{g} \frac{\partial^2 v}{\partial z^2 \partial x^2} \\ EI_w \frac{\partial^2 w}{\partial z^2} - GK \frac{\partial^2 \varphi}{\partial z^2} + \frac{A\Gamma}{g} \left(c_y \frac{\partial^2 u}{\partial z^2} - c_x \frac{\partial^2 v}{\partial z^2} + r_s^2 \frac{\partial^2 \varphi}{\partial z^2} \right) &= m_z(z, t) - \frac{I_x \Gamma}{g} \frac{\partial^2 \varphi}{\partial z^2 \partial x^2} \\ EA \frac{\partial^2 w}{\partial z^2} + \frac{A\Gamma}{g} \frac{\partial^2 w}{\partial z^2} &= -\frac{\partial p}{\partial z} \end{aligned} \right\} \dots \dots (1)$$

$$\therefore r_s^2 = r_x^2 + r_y^2 + c_x^2 + c_y^2$$

式 4 式は、他の 3 式とは独立に継振動を表わし、上の 3 式中

右辺第 2 項は、断面の主軸まわりの回転による慣性力の成分を表わしている。振動数の低さいほどではあまり問題にならないので、簡単にするために省略する。

(1) 式は断面上の任意の点の変位を

$$\left. \begin{aligned} U(x, y, z) &= u(z) - (y - c_y) \varphi(z) \\ V(x, y, z) &= v(z) + (x - c_x) \varphi(z) \\ W(x, y, z) &= w(z) - x u'(z) - y v'(z) + \varphi'(z) w_m(x, y) \end{aligned} \right\} \dots \dots (2)$$

よって、エネルギーを計算し、仮想仕事から求められた運動方程式である。

マトリックス法で解析する場合、曲げねじり変形に対する剛性マトリックスは、 x, y 軸まわりの曲げ、及びせん断中心軸まわりのねじり剛性マトリックスを加え合わせることにより求まる。剛性方程式は、

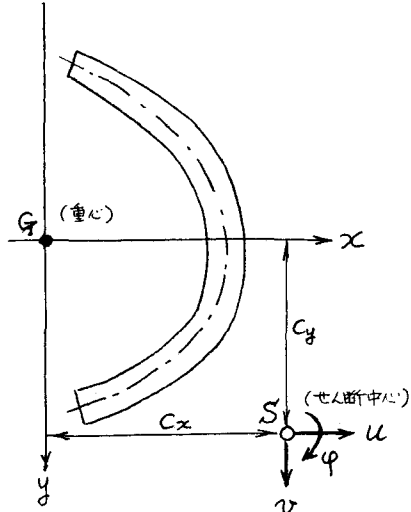
$$\begin{bmatrix} P_u \\ P_v \\ P_\varphi \end{bmatrix} = \begin{bmatrix} R_u & 0 & 0 \\ 0 & R_v & 0 \\ 0 & 0 & R_\varphi \end{bmatrix} \begin{bmatrix} u \\ v \\ \varphi \end{bmatrix} \dots \dots \dots (3)$$

3 次の変位関数の場合

$$\left. \begin{aligned} u(z) &= (H(z)) A^{-1} u \\ v(z) &= (H(z)) A^{-1} v \\ \varphi(z) &= (H(z)) A^{-1} \varphi \end{aligned} \right\} \dots \dots \dots (4)$$

$$\therefore H(z) = [1, z, z^2, z^3], \quad u = [u_L \ u'_L \ u_R \ u'_R]^T \text{ となる。}$$

図-1 座標系および記号



曲げねじり振動の方程式は、マトリックス表示を用いてつぎのように書ける。

$$\left. \begin{aligned} m(\ddot{u} + c_y \ddot{\phi}) + k_u u &= F_u(t) + F_{u'}(t) \\ m(\ddot{v} - c_x \ddot{\phi}) + k_v v &= F_v(t) + F_{v'}(t) \\ m(c_y \ddot{u} - c_x \ddot{v} + r_s^2 \ddot{\phi}) + k_\phi \phi &= F_\phi(t) \end{aligned} \right\} \quad \dots \dots \dots (5)$$

簡単に次式のように書くことができる。

$$M \ddot{d}(t) + K d(t) = F(t) \quad \dots \dots \dots (6)$$

$c_x = 0$ の場合、 y 軸まわりの曲げ振動とせん断中心まわりのねじり振動が連成する。

$$\begin{bmatrix} m & c_x m \\ c_x m & m \end{bmatrix} \begin{bmatrix} \ddot{u} \\ \ddot{\phi} \end{bmatrix} + \begin{bmatrix} k_u & 0 \\ 0 & k_\phi \end{bmatrix} \begin{bmatrix} u \\ \phi \end{bmatrix} = \begin{bmatrix} F_u(t) + F_{u'}(t) \\ F_\phi(t) \end{bmatrix} \quad \dots \dots \dots (7)$$

となる。

(結論)

図-2 に単純げた断面が y 軸に関して対称な場合の、2重連成振動について振動数 ρ_n を求めるべく、振動数方程式は、

$$\frac{I_g}{l} \left(\frac{\rho_n^2}{P_b^2} \right)^2 - \left(1 + \frac{P_\phi^2}{P_b^2} \right) \frac{P_\phi^2}{P_b^2} + \frac{P_\phi^2}{P_b^2} = 0$$

$$\therefore 1 = \text{曲げ振動数 } P_b^2 = \left(\frac{n\pi}{l} \right)^4 \left(\frac{EIxg}{A\delta} \right)$$

$$\text{ねじり振動数 } P_\phi^2 = \left(\frac{n\pi}{l} \right)^2 \left[\frac{GK + EI_w \left(\frac{nx}{l} \right)^2 g}{r I_s} \right]$$

となり、重心に寄する2次極モーメント I_g と、せん断中心に寄する I_s の比をパラメータとして、 (P_b/P_b) と (P_ϕ/P_b) の関係を画いた。2つの P_n の中位の方は P_b 、高めの方は常に大きくなるのがわかる。

図-3 では、ねじり定数比 $K = l \sqrt{\frac{GK}{EI_w}}$ を横軸にとり、そりがねじり振動数に及ぼす影響を調べて見ると、そりは回転に対する剛性を増大させるから振動数を高める効果を表わす。

縦軸は、そりを考慮に入れた場合の振動数 ρ_w と、入らない場合の ρ_ϕ の比。

$$\frac{\rho_w}{\rho_\phi} = \sqrt{\frac{n^2 \pi^2}{4C^2} + 1}$$

を表わし、初めの3つのモードを画いた。

特に代が小さな場合には、 EI_w が GK に比して大きく、そりの影響が無視できない。 $K=4.0$ の1次振動でも振動数は 27% 高めである。

これに対して代が大きくなると、(けたが長くなるか GK に比して EI_w が小さくなると) そりの影響が小さくなるのがわかる。

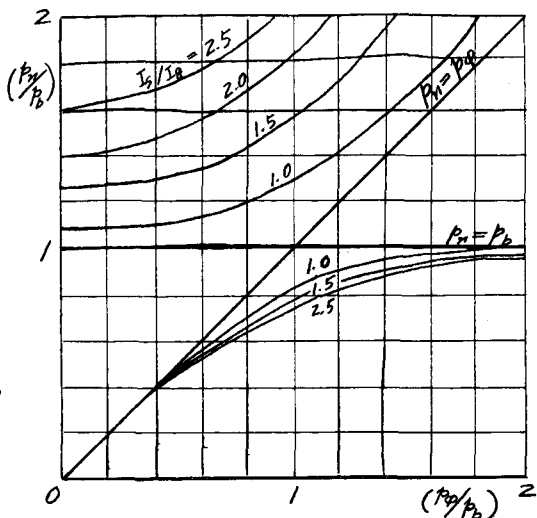


図-2 単純げたの2重連成振動数

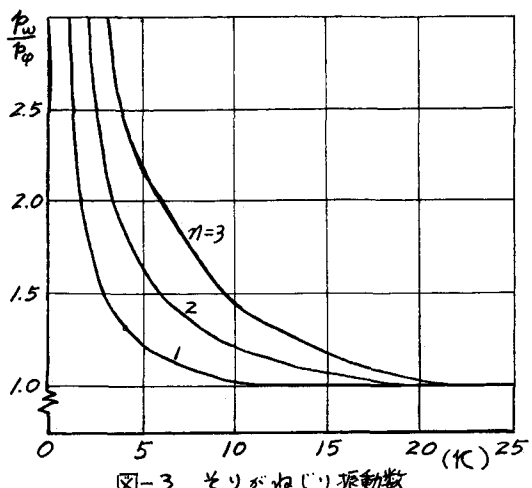


図-3 そりがねじり振動数

に及ぼす影響